

УДК 536.21

© 1992

ТЕПЛОПРОВОДНОСТЬ СОАКТИВИРОВАННЫХ ХРОМОМ ГАДОЛИНИЙ-СКАНДИЙ-АЛЮМИНИЕВЫХ ГРАНАТОВ

П. А. Попов, Н. Н. Сирота, Е. В. Жариков, А. И. Загуменный, Г. Б. Лутц

Приводятся экспериментальные результаты измерения теплопроводности хромсодержащих гадолиний-скандий-алюминиевых гранатов, легированных дополнительно Nd, Nd, и Lu, Er, Mn, в интервале температур 6—300 К. Показано, что теплопроводность этих гранатов при низких температурах весьма чувствительна к характеру вводимых примесей. Присутствие микроколичества ионов Cr^{4+} приводит к резкому увеличению теплопроводности при комнатной температуре.

Экспериментально определена теплопроводность монокристаллов хромсодержащих гадолиний-скандий-алюминиевых гранатов, легированных дополнительно редкоземельными элементами и марганцем, в интервале температур 6—300 К. Наряду с традиционными ограничивающими теплоперенос эффектами, такими как резонансное рассеяние фононов на парамагнитных электронных уровнях ионов, динамический эффект Яна—Теллера, установлено, что присутствие в гранате микроколичеств четырехвалентных ионов хрома существенно повышает теплопроводность кристалла при комнатной температуре. Сделано предположение о наличии нерешеточного вклада в теплоперенос.

Для решения практических задач, связанных с разработкой новых твердотельных лазеров, необходимо знание коэффициента теплопроводности материалов, используемых в качестве активных элементов. С другой стороны, экспериментальное определение в широком интервале температур теплопроводности сложных диэлектрических кристаллов, легированных различными примесями, дает материал для углубления современной теории теплопроводности.

В настоящей работе исследуется теплопроводность лазерных кристаллов хромсодержащих гадолиний-скандий-алюминиевых гранатов (ГСАГ), легированных дополнительно некоторыми редкоземельными элементами и марганцем, в интервале температур 6—300 К.

1. Эксперимент

Объектами исследования служили монокристаллические образцы ГСАГ, выращенных методом Чохральского по технологии, описанной в [¹]. Для приготовления шихты использовали предварительно прокаленные оксиды квалификации ОСЧ. Состав кристаллов контролировали с помощью совместного измерения параметров элементарной ячейки методом порошковой дифрактометрии и определения гидростатической плотности [^{2, 3}], а также методом безэталонного рентгеноспектрального анализа [⁴]. Содержание оптически активных примесей определяли также по спектрам поглощения [⁵]. Высокое качество выращенных монокристаллов подтвердили параметры лазерного излучения, продемонстрированные в генерационных экспериментах.

Образцы для измерения теплопроводности имели форму цилиндра или призмы длиной 40 мм с осью вдоль кристаллографического направления (111). Расстояние

Таблица 1

Состав, параметр решетки (\AA) и поперечные размеры (мм) образцов

Обозначение	Состав	Параметр решетки	Диаметр или сечение
ГСАГ	$\text{Gd}_{2.88}\text{Sc}_{1.89}\text{Al}_{3.23}\text{O}_{12}$	12.382	4.5×4.1
ГСАГ: Nd^{3+} , Cr^{3+}	$\text{Gd}_{2.764}\text{Nd}_{0.096}\text{Sc}_{1.962}\text{Cr}_{0.048}\text{Al}_{3.13}\text{O}_{12}$	12.390	4.0
ГСАГ: Nd^{3+} , Cr^{3+} , Cr^{4+}	$\text{Gd}_{2.764}\text{Nd}_{0.096}\text{Sc}_{1.962}\text{Cr}_{0.048}\text{Al}_{3.13}\text{O}_{12}$	12.390	2.8
ГСАГ: Nd^{3+} , Lu^{3+} , Cr^{3+}	$\text{Gd}_{2.654}\text{Lu}_{0.17}\text{Nd}_{0.066}\text{Sc}_{1.88}\text{Cr}_{0.03}\text{Al}_{3.20}\text{O}_{12}$	12.371	4.8
ГСАГ: Er^{3+} , Cr^{3+}	$\text{Gd}_{1.91}\text{Er}_{0.96}\text{Sc}_{1.54}\text{Cr}_{0.06}\text{Al}_{3.53}\text{O}_{12}$	12.283	3.1
ГСАГ: Mn^{3+} , Cr^{3+}	$\text{Gd}_{2.88}\text{Sc}_{1.836}\text{Mn}_{0.012}\text{Cr}_{0.012}\text{Al}_{3.20}\text{O}_{12}$	12.379	3.9

между датчиками температуры составляло 20 мм. В табл. 1 приведены обозначения, составы, параметры кристаллической решетки и поперечные размеры образцов.

Измерения теплопроводности проводились методом стационарного теплового потока. Методика измерений подробно описана в [^{6, 7}]. Погрешность определения теплопроводности не превышала 5% в исследованном интервале температур.

2. Обсуждение результатов

На рисунке представлены температурные зависимости теплопроводности χ (T) исследуемых кристаллов и экспериментальные точки. Сглаженные значения теплопроводности в интервале 6—300 К приведены в табл. 2. Поскольку в процессе эксплуатации активные элементы лазеров подвергаются нагреву, приводятся также значения теплопроводности при 350 К, полученные методом экстраполяции.

Учитывая, что концентрация примесей, за исключением Er^{3+} , были малы, а произведенные ими изменения теплопроводности столь различны, можно сделать вывод, что эти эффекты различаются по своей природе.

Рассмотрим температурные зависимости теплопроводности двух кристаллов: ГСАГ: Nd^{3+} , Cr^{3+} и ГСАГ: Nd^{3+} , Lu^{3+} , Cr^{3+} . Содержание ионов неодима было приблизительно одинаково для обоих кристаллов (табл. 1), а концентрация Lu^{3+} во втором кристалле в 2.5 раза превышала содержание Nd^{3+} . Из рисунка видно, что кривые χ (T) обоих кристаллов практически совпадают во всем температурном диапазоне. В связи с этим, а также учитывая близость размеров и масс ионов Nd^{3+} , Lu^{3+} и замещаемых ими ионов Gd^{3+} , можно предположить, что основным фактором, понижающим теплопроводность кристаллов ГСАГ в области максимума, является наличие ионов хрома.

Обращает на себя внимание тот факт, что, несмотря на присутствие в кристаллах парамагнитных ионов Nd^{3+} с недостроенной $4f$ -оболочкой, на обеих кривых χ (T) не наблюдается прогибов, характерных для резонансного рассеяния фононов. Такое поведение теплопроводности может свидетельствовать [⁸] о том, что ионы Nd^{3+} в кристаллическом поле ГСАГ не имеют разрешенных внутриконфигурационных электронных переходов с энергией перехода ΔE ниже ~150 K.

Напротив, для кристалла ГСАГ, в додекаэдрической подрешетке которого 30% ионов Cd^{3+} замещено близкими по массе и размерам ионами Er^{3+} , наблюдается искажение кривой χ (T), которое, по-видимому, свидетельствует о наличии резонансного рассеяния фононов в области температур 30—100 K. Подобные эффекты наблюдались и в других гранатах, содержащих эрбий [⁸⁻¹⁰].

В области комнатных температур теплопроводность эрбийсодержащего ГСАГ оказалась существенно выше, чем χ кристаллов с меньшим содержанием примесей

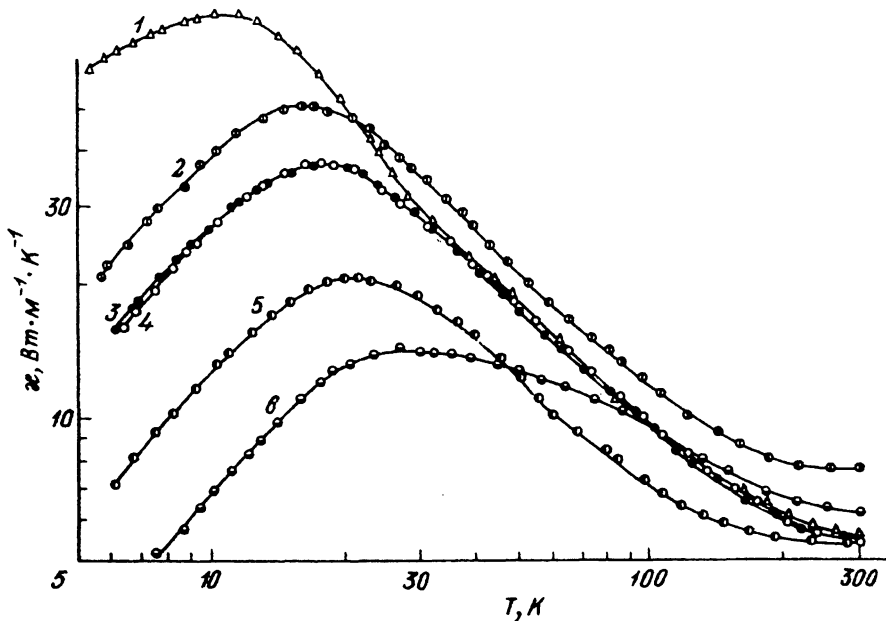
ГСАГ: Nd^{3+} , Cr^{3+} и ГСАГ: Nd^{3+} , Lu^{3+} , Cr^{3+} , а также нелегированного ГСАГ (см. рисунок, кривая 1). По-видимому, фактором, компенсирующим в области высоких температур увеличение степени неоднородности решетки вследствие легирования большой концентрацией эрбия, является уменьшение параметра решетки (табл. 1), связанного со средней скоростью распространения фононов и, следовательно, с коэффициентом теплопроводности.

Введение в октаэдрическую подрешетку ГСАГ: Cr^{3+} примеси ионов Mn^{3+} привело к резкому уменьшению теплопроводности при температурах ниже комнатной. Малое количество Mn^{3+} , составляющее (вместе с содержащимися, вероятно, в кристалле Mn^{2+} и Mn^{4+}) величину 1 ат.%, не позволяет объяснить такое изменение $\chi(T)$ простым рассеянием фононов на «дефектах» масс и размером ионов, занимающих эквивалентные кристаллографические позиции. Заметим, что ранее наблюдалось [11] сильное рассеяние фононов в кристалле Al_2O_3 на ионах Mn^{3+} при низких температурах. Динамический эффект Яна—Теллера [12], проявляющийся в локальном понижении симметрии кристаллического поля вокруг ионов Mn^{3+} , приводит, по-видимому, и в нашем случае при легировании кристалла ГСАГ марганцем к сильному фононному рассеянию и соответствующему падению теплопроводности.

Особое внимание обращает на себя то обстоятельство, что для двух кристаллов ГСАГ, легированных одинаковыми концентрациями неодима и хрома (кривые 2, 4), имеет место существенное различие абсолютных значений χ при комнатной температуре, превышающее 40 %, а также заметное различие температурных зависимостей теплопроводности. Как показали проведенные нами спектральные исследования, в одном из этих образцов содержались только трехвалентные ионы хрома, а в другом, кроме Cr^{3+} , имелась определенная доля ($\sim 10^{18} \text{ см}^{-3}$) ионов Cr^{4+} . Общее количество хрома в обоих случаях составляло $2 \cdot 10^{20} \text{ см}^{-3}$. Как следует из полученных данных, наличие в кристалле четырехвалентных ионов хрома приводит к тому, что высокотемпературная часть графика $\chi(T)$ сильно выполаживается и поднимается относительно $\chi(T)$ образца ГСАГ: Nd^{3+} , Cr^{3+} и, что более существенно, относительно $\chi(T)$ номинально чистого кристалла ГСАГ.

Таблица 2
Теплопроводность ($\text{Вт} \cdot \text{м}^{-1} \cdot \text{К}^{-1}$) кристаллов ГСАГ в интервале температур 6—350 К

Кристалл	Температура, К															
	6	10	15	20	25	30	40	50	60	80	100	150				
ГСАГ	60	81	69	51	38	30	22	18.5	15.5	11.9	9.8	7.4	6.4	5.9	5.6	5.5
ГСАГ: Nd^{3+} , Cr^{3+}	16	29	37	38	33	29	22.5	18	15	12	9.8	7.2	6.1	5.7	5.6	5.6
ГСАГ: Nd^{3+} , Cr^{3+} , Cr^{4+}	24	40	51	49	42	36	28	22	19	15	12.5	9.3	8.2	7.9	8.0	8.0
ГСАГ: Nd^{3+} , Lu^{3+} , Cr^{3+}	15.5	28	37	38	33	29	23	18.5	16	12	10	7.4	6.3	5.7	5.5	5.4
ГСАГ: Er^{3+} , Cr^{3+}	4.3	7.1	11	13.5	14.5	14	13	12	11	9.8	7.8	6.8	6.5	6.5	6.6	6.6
ГСАГ: Mn^{3+} , Cr^{3+}	7.3	13.5	18.5	21	20.5	19	15.5	13	10.5	8.5	7.2	5.9	5.6	5.4	5.5	5.5



Температурные зависимости кристаллов ГСАГ, содержащих примеси.

1 —名义льно чистый кристалл; 2 — Nd³⁺, Cr³⁺, Cr⁴⁺; 3 — Nd³⁺, Cr³⁺, Cr³⁺; 4 — Nd³⁺, Lu³⁺, Cr³⁺; 5 — Mn³⁺, Cr³⁺; 6 — Er³⁺, Cr³⁺.

Механизм образования четырехвалентных ионов хрома в ГСАГ следующий. В присутствии микроколичеств двухвалентных ионов кальция в процессе роста кристалла в окислительной атмосфере часть ионов Cr³⁺ изменяет степень окисления до Cr⁴⁺ и занимает тетраэдрические позиции, в то время как ионы Ca²⁺ входят в додекаэдрическую подрешетку. Легирование ионами Ca²⁺ в количестве 10¹⁸ см⁻³ приводит к возникновению равного количества Cr⁴⁺. Однако присутствие даже столь небольшого количества Cr⁴⁺ (1—5% от общего содержания ионов хрома) приводит к кардинальному изменению спектроскопических и генерационных свойств лазерных кристаллов редкоземельных скандиевых гранатов [13] и, как показывают результаты настоящей работы, вызывает также существенное изменение коэффициента теплопроводности.

Вид высокотемпературной части графика теплопроводности образца ГСАГ, содержащего четырехвалентные ионы хрома, особенно в сравнении с $\chi(T)$ номинально чистого ГСАГ, позволяет предположить наличие нерешеточного вклада в теплоперенос, уточнение природы которого требует дополнительных исследований.

Таким образом, результаты исследования теплопроводности серии лазерных кристаллов ГСАГ, легированных различными примесями, показывают следующее.

1. В области низких температур теплопроводность ГСАГ весьма чувствительна к характеру вводимых в кристалл примесей; малое содержание примеси (порядка 1 ат.%) может быть ответственно за снижение теплопроводности в максимуме в несколько раз;

2. В области высоких температур существенное изменение теплопроводности ГСАГ может быть связано с присутствием в кристалле микроколичеств ионов Cr⁴⁺, а также с введением больших концентраций редкоземельных ионов (в последнем случае речь идет, строго говоря, о твердых растворах, т. е. о кристаллах, обладающих другой индивидуальностью).

Список литературы

- [1] Zharkov E. V. // Cryst. Res. Technol. 1989. V. 24. N 8. P. 745—750.
- [2] Кузьмичева Г. М., Козликин С. Н., Жариков Е. В., Калитин С. П., Осико В. В. // Журн. неорг. химии. 1989. Т. 34. № 6. С. 1406—1410.
- [3] Жариков Е. В., Загуменный А. И., Козликин С. Н., Лаврищев С. В., Лутц Г. Б. // ДАН СССР. 1989. Т. 308. № 5. С. 1166—1169.
- [4] Lutts G. B., Denisov A. L., Zharkov E. V., Zagumennyi A. I., Kozlikin S. N., Lavrishchev S. V., Samoilova S. A. // Optical and Quantum Electronics. 1990. V. 22. P. 269—281.
- [5] Денисов А. Л., Жариков Е. В., Загуменный А. И., Козликин С. Н., Лаврищев С. В., Лутц Г. Б., Самойлова С. А. // Труды ИОФАН. 1990. Т. 26. С. 98—106.
- [6] Попов П. А., Антонов А. В., Иванов И. А., Сидоров А. А. // ФТГ. 1989. Т. 31. № 10. С. 287—290.
- [7] Сирота Н. Н., Попов П. А., Сидоров А. А., Иванов И. А., Антонов А. В. // Изв. АН БССР, сер. физ.-мат. наук. 1990. № 4. С. 51—55.
- [8] Slack G. A., Oliver D. W. // Phys. Rev. B. 1971. V. 4. N 2. P. 592—609.
- [9] Васильев Л. Н., Джаббиров И., Оскотский В. С., Парфеньева Л. С., Попов В. В., Смирнов И. А. // ФТГ. 1984. Т. 26. № 9. С. 2710—2715.
- [10] Арутюнян С. Р., Багдасаров Х. С., Додокин А. П., Кеворков А. М. // Квант. электр. 1984. Т. 11. С. 1284—1286.
- [11] Guckelsberger K., Challis L. J., de Goer A. M., Slack G. A. // Proc. Int. Conf. Phon. Scat. in Solids. 1972. P. 233—237.
- [12] Крупичка С. Физика ферритов и родственных им магнитных окислов: Пер. с чеш. М., 1976. 353 с.
- [13] Жариков Е. В., Завазнов А. М., Прохоров А. М., Шкадаревич А. П., Шербаков И. А. // Квант. электр. 1986. Т. 16. С. 1552—1554.

Институт общей физики
РАН
Москва

Поступило в Редакцию
30 июля 1991 г.